

# Свойства неоднородных дополнительных подпространств и их связь с наблюдаемой физикой

Отчет о научно-исследовательской деятельности аспиранта и подготовке  
научно-квалификационной работы (диссертации) на соискание ученой степени кандидата  
наук за весенний семестр 1 курса

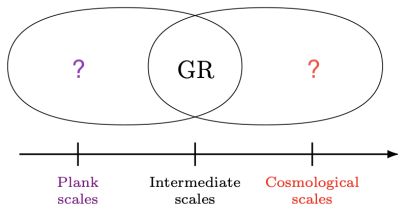
Полина Петрякова, А21-111  
Научный руководитель: д.ф.-м.н. Рубин С. Г.

Национальный исследовательский ядерный университет «МИФИ»

arXiv:[2204.04647].

Несмотря на успех, общая теория относительности (ОТО):

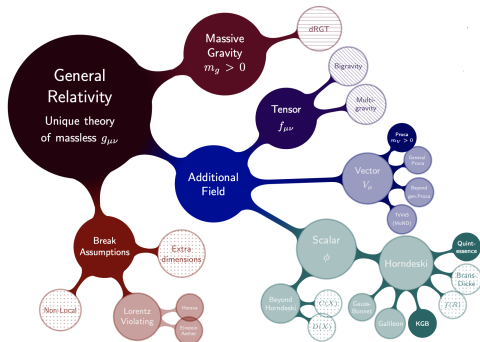
1. Описывает классические аспекты гравитационного взаимодействия, теряя предсказательную способность в области высоких энергий;
2. В рамках ОТО стадии ускоренного расширения Вселенной находят объяснение лишь вне рамок СМ элементарных частиц, допуская существование экзотических форм материи;
3. Отсутствует механизм, обеспечивающий наблюдаемую малость космологической постоянной  $\Lambda \sim 10^{-122} m_{\text{Pl}}^2$ ;



⇒ необходимо расширение действия Эйнштейна-Гильберта с сохранением предсказаний ОТО на промежуточных масштабах:

$$S_{\text{EH}} = \frac{m_{\text{Pl}}^2}{2} \int d^4x \sqrt{-g} (R - 2\Lambda) \quad \rightarrow \quad S_{\text{Gravity}} = ???$$

Разработано огромное количество модифицированных теорий гравитации



Одним из перспективных расширений ОТО являются модели гравитации с высшими производными, в частности, модели  $f(R)$  гравитации

$$S_{\text{EH}} = \frac{m_{\text{Pl}}^2}{2} \int d^4x \sqrt{|g_4|} (R - 2\Lambda) \quad \rightarrow \quad S_{\text{Mod}} = \frac{m_{\text{Pl}}^2}{2} \int d^4x \sqrt{|g_4|} f(R)$$

Инфляционные сценарии вызвали дополнительный повышенный интерес к теориям  $f(R)$  гравитации, начиная с модели Старобинского<sup>1</sup>:

$$S = \frac{m_{\text{Pl}}^2}{2} \int d^4x \sqrt{|g_4|} (aR^2 + R + c).$$

Предсказания, изначально рассчитанные для модели в низшем порядке<sup>2</sup>

$$n_s \simeq 1 - \frac{2}{N_e} \simeq 0.9649 \pm 0.0042, \quad r \simeq \frac{12}{N_e^2} < 0.032,$$

хорошо согласуются с данными<sup>3</sup> Planck'18 для  $50 < N_e < 60$ . Множитель перед квадратичным слагаемым  $R^2$  определяется из нормализации COBE<sup>4</sup>

$$a \simeq 1.12 \cdot 10^9 \left( \frac{N_e}{60} \right)^2 m_{\text{Pl}}^{-2}.$$

Тем не менее, в ИК-пределе модель Старобинского предполагает **тонкую настройку космологической постоянной**, а также **не содержит объяснения величины единственного параметра** перед членом  $R^2$  в лагранжиане.

---

<sup>1</sup>Starobinsky, Phys. Lett. B (1980).

<sup>2</sup>Mukhanov, Chibisov, ZhETF Pisma (1981).

<sup>3</sup>Tristram et al., Phys. Rev. D (2022).

<sup>4</sup>Planck 2018 results. X. Constraints on inflation, Astron. & Astrophys. (2020).

Разработана инфляционная модель без малых параметров в рамках  $f(R)$  гравитации с минимально связанным скалярным полем  $\varphi$  в  $D$  измерениях

$$S = \frac{m_D^{D-2}}{2} \int d^D x \sqrt{|g_D|} \left( aR^2 + R + c + \partial^M \varphi \partial_M \varphi - 2V(\varphi) \right)$$

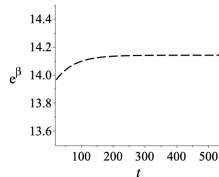
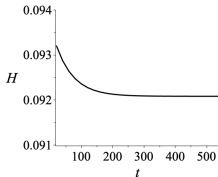
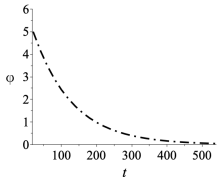
для выбранной метрики  $M_1 \times M_3 \times M_n$  в виде

$$ds^2 = dt^2 - e^{2\alpha(t)} \delta_{ij} dx^i dx^j - e^{2\beta(t)} m_D^{-2} \left( (dx^4)^2 + r^2(x^4)(dx^5)^2 + \dots + r^2(x^4) \prod_{k=5}^{D-2} (\sin^2 x^k) (dx^{k+1})^2 \right).$$

Модель содержит два характерных этапа:

1. Первый начинается на энергетических масштабах  $m_D \sim 10^{14}$  ГэВ, завершаясь метрикой де Ситтера ( $dS$ ) основного пространства с максимально симметричными дополнительными измерениями.
2. На втором этапе квантовые флуктуации создают широкий набор неоднородных (деформированных) дополнительных метрик в причинно-несвязанных областях, быстро генерируемых в пр-ве  $dS$ .

Мы находим на втором этапе конкретную метрику доп. неоднородного пространства, которая приводит к эффективной модели Старобинского.



Первая стадия завершается при  $V(\varphi_{as}) = 0$  с максимально симметричным подпространством и заканчивается с постоянными  $H_{as}$  и  $e^{\beta c}$ :

$$H_{as}^2 = \frac{-(n+2) \pm \sqrt{(n+2)^2 - 4an(n+4)c}}{6an(n+4)}; \quad m_D^2 e^{-2\beta c} = \frac{3H_{as}^2}{(n-1)}.$$

Действие после интегрирования по доп. измерениям принимает вид:

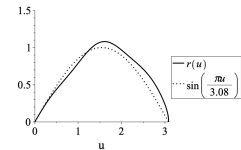
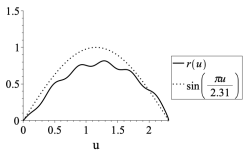
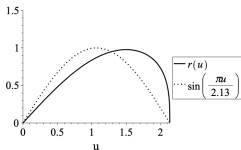
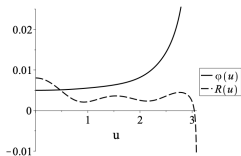
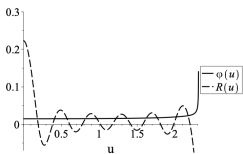
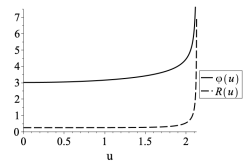
$$S_{eff}^I = \frac{m_{Pl}^2}{2} \int d^4x \sqrt{|g_4|} (a_{eff} R_4^2 + R_4 + c_{eff}), \quad \text{где}$$

$$\frac{a_{eff} m_{Pl}^2}{2} = \frac{1}{2} v_n m_D^2 e^{n\beta c} f_{RR}(R_n), \quad \frac{m_{Pl}^2}{2} = v_n m_D^2 e^{n\beta c} f_R(R_n), \quad \frac{c_{eff} m_{Pl}^2}{2} = v_n m_D^2 e^{n\beta c} f(R_n).$$

Для  $a = 20m_D^{-2}$ ,  $c = -0.95m_D^2$ ,  $n = 6$  эффективные  $a_{eff} m_{Pl}^2 \simeq 2.65 \cdot 10^9$ ,  $m_{Pl}^2 \simeq 9.26 \cdot 10^8 m_D^2$ ,  $c_{eff} m_{Pl}^2 \simeq -4.63 \cdot 10^7 m_D^4$ , а следовательно,

$$m_D \sim 10^{14} \text{ ГэВ}, \quad H \sim 10^{13} \text{ ГэВ} \quad \text{и} \quad e^{\beta c} \sim 10^{-27} \text{ см.}$$

Флуктуации скалярного поля деформируют дополнительную метрику в причинно-несвязанных областях, нарушая максимальную симметрию



$a = 20$ ,  $c = -0.95$ ,  $n = 6$ ,  
 $m = 0.05$ ,  $\beta_c = 2.65$ ,  
 $H = 0.092$ ,  $\varphi_0 = 3.02$ ,  
 $R_0 \simeq 0.254$ .

$a = -1.5$ ,  $c = -0.005$ ,  $n = 3$ ,  
 $m = 0.01$ ,  $\beta_c = 3.80$ ,  
 $H = 0.018$ ,  $\varphi_0 = 0.015$ ,  
 $R_0 \simeq 0.223$ .

$a = -45$ ,  $c = -0.0021$ ,  $n = 4$ ,  
 $m = 0.01$ ,  $\beta_c = 4.48$ ,  
 $H = 0.011$ ,  $\varphi_0 = 0.005$ ,  
 $R_0 \simeq 0.008$ .

Численное решение для функций  $r(u)$ ,  $\varphi(u)$ ,  $R(u)$  при заданных параметрах и граничных условиях  $r(0) = 0$ ,  $r'(0) = 1$ ,  $R'(0) = 0$ ,  $\varphi(0) = \varphi_0$ ,  $\varphi'(0) = 0$  и  $R(0) = R_0$  корень уравнения связи.

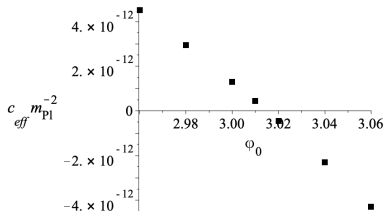
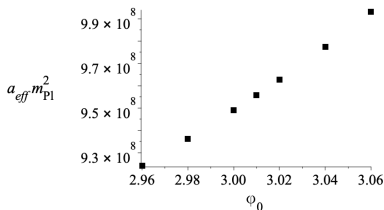
На втором этапе после интегрирования по доп. координатам действие

$$S_{eff}^{II} = \frac{m_{Pl}^2}{2} \int d^4x \sqrt{|g_4|} \left( a_{eff} R_4^2 + R_4 + c_{eff} \right),$$

где эффективные значения параметров определяются

$$a_{eff} = v_{n-1} e^{n\beta c} \frac{m_D^2}{m_{Pl}^2} \int_0^{u_{max}} f_{RR}(R_n(u)) r^{n-1}(u) du, \quad \frac{m_{Pl}^2}{m_D^2} = 2v_{n-1} e^{n\beta c} \int_0^{u_{max}} f_R(R_n(u)) r^{n-1}(u) du,$$

$$c_{eff} = 2v_{n-1} e^{n\beta c} \frac{m_D^2}{m_{Pl}^2} \int_0^{u_{max}} \left( f(R_n(u)) - (\varphi'(u))^2 m_D^2 e^{-2\beta c} - 2V(\varphi(u)) \right) r^{n-1}(u) du.$$



Вычисления показывают, что подходящие значения параметров нашей модели  $a = 20m_D^{-2}$ ,  $c = -0.95m_D^2$ ,  $n = 6$ ,  $m = 0.05m_D$  обеспечивают  $a_{eff} m_{Pl}^2 \sim 10^9$ ,  $c_{eff} m_{Pl}^{-2} \simeq 0$  для  $\varphi_0 \simeq 3.015$  и  $H \sim 10^{13}$  ГэВ.



- Многие инфляционные модели объясняют данные наблюдений, используя малый параметр  $H \sim 10^{-6} m_{\text{Pl}}$ , а также неявно предполагая один из параметров модели, ассоциированный с космологической постоянной, чрезвычайно тонко настроенным.
- Мы разработали модель без вовлечения малых/больших параметров  $a = 20 m_{\text{D}}^{-2}$ ,  $c = -0.95 m_{\text{D}}^2$ ,  $n = 6$ ,  $m = 0.05 m_{\text{D}}$ .
- Эффективные параметры, подходящие для объяснения наблюдаемых данных:  $a_{\text{eff}} m_{\text{Pl}}^2 \sim 10^9$ ,  $c_{\text{eff}} m_{\text{Pl}}^{-2} \simeq 0$ , определяются найденной неоднородной метрикой дополнительных измерений.
- В дальнейшем планируется исследование устойчивости полученных конфигураций, а также установление наблюдаемых проявлений в низкоэнергетической эффективной 4-мерной теории.

Спасибо за внимание!

# Свойства неоднородных дополнительных подпространств и их связь с наблюдаемой физикой

Отчет о научно-исследовательской деятельности аспиранта и подготовке  
научно-квалификационной работы (диссертации) на соискание ученой степени кандидата  
наук за весенний семестр 1 курса

Полина Петрякова, А21-111  
Научный руководитель: д.ф.-м.н. Рубин С. Г.

Национальный исследовательский ядерный университет «МИФИ»

arXiv:[2204.04647].

# Backup

$$-\frac{1}{2}f(R)\delta_N^M + \left(R_N^M + \nabla^M \nabla_N - \delta_N^M \square_D\right) f_R = -T_N^M, \quad \square_D \varphi + V'_\varphi = 0,$$

$$T_N^M = \frac{\partial L_{matter}}{\partial(\partial_M \varphi)} \partial_N \varphi - \frac{\delta_N^M}{2} L_{matter} = \partial^M \varphi \partial_N \varphi - \frac{\delta_N^M}{2} \partial^K \varphi \partial_K \varphi + \delta_N^M V(\varphi).$$

$$ds^2 = dt^2 - e^{2Ht} \left( (dx^1)^2 + (dx^2)^2 + (dx^3)^2 \right) - e^{2\beta c} m_D^{-2} \left( du^2 + r^2(u) d\Omega_{n-1}^2 \right)$$

$$r(u) = m_D e^{-\beta c} \frac{\sqrt{(n-1)}}{\sqrt{3}H} \sin\left(\frac{\sqrt{3}H}{\sqrt{(n-1)}} e^{\beta c} m_D^{-1} u\right)$$

$$c_{eff} = 2\nu_{n-1} e^{n\beta c} \frac{m_D^2}{m_{Pl}^2} \int_0^{u_{max}} \left( f(R_n(u)) - (\varphi'(u))^2 m_D^2 e^{-2\beta c} - 2V(\varphi(u)) \right) r^{n-1}(u) du.$$

$$\int_0^{u_{max}} \left[ \left( (R')^2 f_{RRR} + (R'' + (n-1) \frac{r'}{r} R') f_{RR} \right) e^{-2\beta c} + 3H^2 f_R - \frac{f(R)}{2} + \frac{(\varphi')^2}{2} e^{-2\beta c} + V(\varphi) \right] r^{n-1}(u) du = 0$$

$$c_{eff} = 2\nu_{n-1} e^{n\beta c} \frac{m_D^2}{m_{Pl}^2} \int_0^{u_{max}} \left( 6H^2 f_R(R_D) - f(R_D) + f(R_n) \right) r^{n-1}(u) du$$

$$a = 50 m_D^{-2}, \quad c = -0.25 m_D^2, \quad n = 5, \quad m = 0.02 m_D$$